

Лекция 23

ПРИМЕРЫ ИСПОЛЬЗОВАНИЯ МЕТОДОВ СТАТИСТИЧЕСКОЙ ТЕОРИИ ПРИНЯТИЯ РЕШЕНИЙ ПРИ ОБРАБОТКЕ ДИАГНОСТИЧЕСКОЙ ИНФОРМАЦИИ (Продолжение)

Задача Л23.1. Степень старения металла различных участков трубопроводов АЭС могут быть оценены по изменению в процессе эксплуатации предела текучести металла $\sigma_{0,2}$. На основе анализа сертификатных данных трубопроводов и результатов массовых натуральных безобразцовых измерений этого параметра методом измерения твердости установлено, что в исходном и состаренном состояниях его значение подчиняется нормальному закону распределения. Для трубопроводов ГЦТ третьего и четвертого блоков Нововоронежской АЭС в исходном состоянии среднее нормативное значение предела текучести основного металла — стали 0X18H10T — составляет $\sigma_{0,2}^{\text{исх}} = 245$ МПа при среднеквадратическом отклонении 25 МПа, а для предельно состаренного состояния эти величины соответственно равны $\sigma_{0,2}^{\text{стар}} = 175$ МПа и 20 МПа.

Используя различные статистические методы принятия решений, определить значение предела текучести, при котором трубопровод подлежит замене, если стоимость замены в условных единицах составляет 10 ед., а затраты на ликвидацию последствий аварийной ситуации, связанной с разрушением трубопровода, оцениваются в 200 ед. Априорные вероятности допустимого и недопустимого состояний трубопровода на момент диагностического обследования соответственно равны 0,95 и 0,05. Выигрыши от правильно принятых решений при диагностике трубопроводов можно принять равными нулю.

Проанализируем условия этой задачи, сопоставив их с данными предыдущей задачи Л22.1. Прежде всего, для упрощения обозначений условимся диагностический параметр — предел текучести стали $\sigma_{0,2}$ — обозначать x . Плотности вероятности распределения этого параметра в исходном и состаренном состояниях показаны на рис. Л23.1. Сравним рис. Л23.1 с рис. Л22.1, на котором показано взаимное расположение графиков условных плотностей вероятности распределения диагностического параметра для разных состояний диагностируемого объекта, соответствующее данным задачи Л22.1.

Обратим внимание на то, что среднее значение диагностического параметра —

предела текучести стали — в исходном состоянии выше, чем в состаренном. Поэтому на рис. Л23.1 график плотности вероятности распределения диагностического параметра для исходного состояния металла трубопровода расположен справа от графика плотности вероятности распределения диагностического параметра в случае состаренного состояния металла.

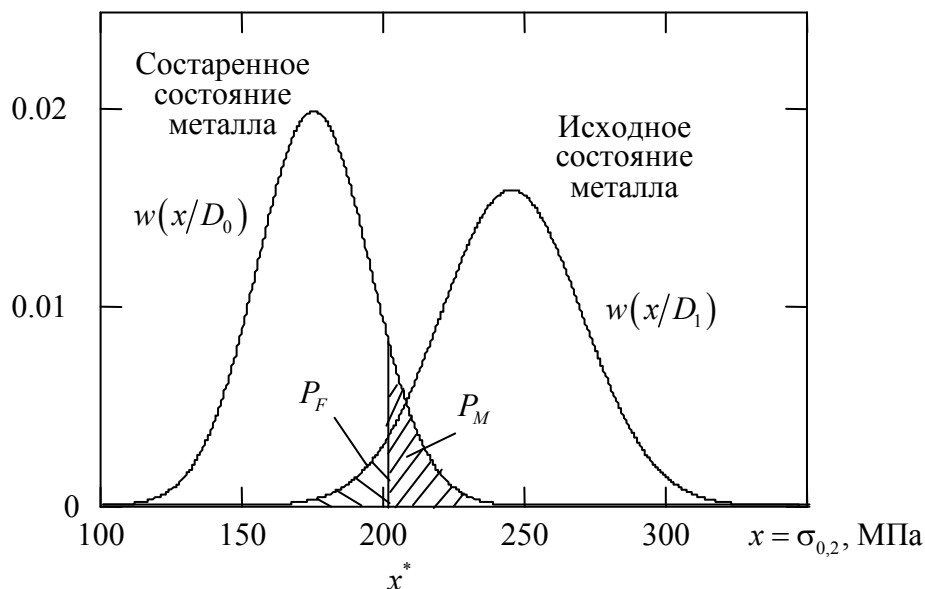


Рис. Л23.1. Распределения предела текучести металла трубопровода в исходном и состаренном состояниях

С изменением взаимного расположения графиков плотностей вероятности распределения диагностического параметра для допустимого и недопустимого состояний металла трубопроводов изменилось и положение заштрихованных областей, соответствующих вероятностям ошибок 1-го и 2-го рода — P_M и P_F , сравни рис. Л22.1 и рис. Л23.1.

В связи с этим нетрудно сообразить, что для расчета критического значения предела текучести стали, вероятностей ошибок диагностирования и среднего риска с применением различных статистических методов принятия решений можно воспользоваться соотношениями, приведенными в пп. 1–5, если исходное (допустимое) состояние металла трубопроводов обозначить как D_1 , состаренное (недопустимое) — D_0 , а в формулах вычисления ошибок диагностирования заменить P_M на P_F и наоборот. С учетом сказанного введем следующие обозначения: среднее значение предела текучести стали в состаренном состоянии — $x_0 = 175$ МПа; среднеквадратическое отклонение предела текучести стали в состаренном состоянии — $\sigma_0 = 20$ МПа; среднее значение предела текучести стали в

исходном состоянии — $x_1 = 245$ МПа; среднеквадратическое отклонение предела текучести стали в исходном состоянии — $\sigma_1 = 25$ МПа; априорные вероятности исходного (допустимого) и состаренного (недопустимого) состояний металла трубопровода на момент диагностического обследования соответственно равны $P(D_1) = 0,95$ и $P(D_0) = 0,05$; потери от ошибки 1-го рода $\Pi_{10} = 10$ усл. ед.; потери от ошибки 2-го рода $\Pi_{01} = 200$ усл. ед.

Метод минимального риска

Распределение предела текучести стали в нормальном (исходном) ($i = 1$) и состаренном ($i = 0$) состояниях описываются функциями, рис. Л23.1:

$$w(x/D_i) = \frac{1}{\sqrt{2\pi}\sigma_i} \exp\left\{-\frac{(x-x_i)^2}{2\sigma_i^2}\right\}; x \geq 0; (i = 0, 1).$$

После вычисления коэффициентов b и c в уравнении (Л22.2), см. лекцию 22, и его решения находим критическое значение предела текучести $x^* = 208,1$ МПа. Вероятности ошибок 1-го и 2-го рода в нашем случае вычисляются по формулам

$$P_M = P(D_0) \int_{x^*}^{+\infty} w(x/D_0) dx;$$

$$P_F = P(D_1) \int_0^{x^*} w(x/D_1) dx, \quad (\text{Л23.1})$$

а средний риск —

$$R = \Pi_{10} P_F + \Pi_{01} P_M. \quad (\text{Л23.2})$$

В результате вычислений находим $P_F = 0,0663$; $P_M = 0,0025$ и $R = 1,15$ усл. ед.

Метод минимального числа ошибочных решений

Критическое значение предела текучести определяем из уравнения (Л22.2), в котором при расчете коэффициента c необходимо положить $\Pi_{01} = \Pi_{10}$. В результате находим $x^* = 185,3$ МПа. Вероятности ошибок 1-го и 2-го рода вычисляются по формулам (Л23.1)

$P_F = 0,008$ и $P_M = 0,0152$. Средний риск составляет $R = 3,12$ усл. ед.

Метод максимального правдоподобия

Критическое значение предела текучести определяем из уравнения (Л22.2), в котором при расчете коэффициента c необходимо положить $\Pi_{10}P(D_1) = \Pi_{01}P(D_0)$. Определив положительный корень этого уравнения, находим $x^* = 207,7$ МПа. Вероятности ошибок 1-го и 2-го рода рассчитываются по формулам (Л23.1) $P_F = 0,0664$ и $P_M = 0,0025$. Средний риск составляет $R = 1,16$ усл. ед.

Метод минимакса

Критическое значение предела текучести определяется из уравнения

$$\Pi_{01} \int_{x^*}^{+\infty} w(x/D_0) dx = \Pi_{10} \int_0^{x^*} w(x/D_1) dx.$$

Решая это уравнение, находим $x^* = 222,2$ МПа. Наименее благоприятное сочетание вероятностей допустимого $P^*(D_1)$ и недопустимого $P^*(D_0) = 1 - P^*(D_1)$ состояния металла трубопровода, по-прежнему, вычисляются по формуле:

$$\frac{w(x^*/D_0)}{w(x^*/D_1)} = \frac{\Pi_{10}}{\Pi_{01}} \cdot \frac{1 - P^*(D_0)}{P^*(D_0)}.$$

В результате вычислений находим $P^*(D_0) = 0,3$; $P^*(D_1) = 0,7$. Вероятности ошибок 1-го и 2-го рода рассчитываются по формулам (Л23.1), в которых полагаем $P(D_0) = P^*(D_0)$ и $P(D_1) = P^*(D_1)$: $P_F = 0,1268$ и $P_M = 0,0027$. Минимаксный риск равен $R = 3,45$ усл. ед.

Метод Неймана–Пирсона

Вычислим критическое значение предела текучести металла трубопроводов x^* для нескольких значений коэффициента избыточности $k = 1; 3; 5$. Для этих значений

коэффициента избыточности вероятности ложной тревоги в нашем случае соответственно равны ($\varepsilon = k P(D_0)$): $\varepsilon = 0,05; 0,15; 0,25$. Критическое значение предела текучести определяем из условия не превышения ошибки 1-го рода P_F заданной величины ε , тогда из второго соотношения (Л23.1) получаем уравнение для вычисления x^* :

$$P(D_1) \int_0^{x^*} w(x/D_1) dx = \varepsilon.$$

Для указанных ε соответствующие значения x^* равны: $x_1^* = 204,5$ МПа; $x_2^* = 219,9$ МПа и $x_3^* = 229,2$ МПа. По формуле (Л23.1) рассчитываем соответствующие вероятности ошибок 2-го рода: $P_{M1} = 0,0035$; $P_{M2} = 0,0006$; $P_{M3} = 0,0001$.

Таблица Л23.1. Данные расчетов с помощью методов статистических решений

Метод	Критическая концентрация x^* , МПа	Вероятность ложной тревоги, $P_F, 10^{-2}$	Вероятность пропуска дефекта, $P_M, 10^{-2}$	Средний риск, R , усл. ед.	
Минимального риска	208,1	6,63	0,25	1,15	
Минимального числа ошибочных решений	185,3	0,80	1,52	3,12	
Максимального правдоподобия	207,7	6,64	0,25	1,16	
Минимакса	222,2	12,68	0,27	3,45	
Неймана–Пирсона	$\varepsilon = 0,05$	204,5	5,0	0,35	1,20
	$\varepsilon = 0,15$	219,9	15,0	0,06	1,62
	$\varepsilon = 0,25$	229,2	25,0	0,01	2,53

Средний риск при указанных значениях вероятностей ошибок диагностирования согласно (Л20.3) составит: $R_1 = 1,2$; $R_2 = 1,62$; $R_3 = 2,53$ усл. ед. Данные вычислений объединены в табл. Л23.1.

Их анализ показывает, что здесь имеют место те же закономерности, которые были отмечены при обсуждении результатов расчетов, полученных при решении задачи Л22.1.